# Многолучевая диэлектрическая линза миллиметрового диапазона

Л. М. Любина, М. И. Сугак, Д. С. Кутвин, В. А. Сучков, К. С. Комаров

Санкт-Петербургский государственный электротехнический университет «ЛЭТИ» им. В.И. Ульянова (Ленина)

Lmlyubina@etu.ru

Аннотация. Представлены результаты численного и экспериментального исследования многолучевой линзы мм-диапазона, установленной на проводящей поверхности и выполненной с применением технологии 3D печати. Акцент делается на применение высокотехнологических методов изготовления антенны при значительном ослаблении требований к качеству диаграммы направленности (прежде всего УБЛ). Подробно рассмотрен случай пятилучевой диэлектрической линзы.

Ключевые слова: многолучевая антенная решетка, линзовая антенна, технология 3D печати

### І. ПОСТАНОВКА ЗАДАЧИ

В современных радиосистемах, в таких приложениях как: автомобильные радары, интернет вещей, охрана периметра, системы специального назначения и т.п., велика потребность в сканирующих или многолучевых компактных антенных решетках [1-3]. Как следствие, в настоящее время получили широкое развитие различные адаптивные антенны И антенные решётки, электронным сканированием луча, однако в них, в ряде случаев, критичным является наличие активных управляющих элементов, что существенно повышает стоимость. В связи с этим, в ряде случаев, многолучевые антенные решётки с переключением луча, параллельной обработкой в каналах, оказываются предпочтительнее. Использование мм-диапазона частот способствует уменьшению габаритных размеров антенн, однако в верхней его части, в свою очередь, могут возникнуть существуют проблемы с дальностью распространения сигнала.

Цель данной работы: электродинамическое разработка И экспериментальное моделирование, исследование низкопрофильной многолучевой антенной решетки мм-диапазона, установленной на проводящей плоской поверхности носителя и ориентированной на изготовление методами 3D-печати. В данной работе акцент делался на применение высокотехнологических методов изготовления антенны при значительном ослаблении требований К качеству диаграммы направленности (прежде всего УБЛ).

Известны различные конструкции, например [4], многолучевых линзовых систем, работающих в СВЧ диапазоне. Обладающие наилучшими полосовыми и энергетическими характеристиками объемные линзы Люнеберга [5, 6] с рупорными облучателями не всегда применимы, массогабаритных ввиду своих характеристик. Несколько меньшими габаритами рассматриваемая обладает, например, четырёхлучевая линзовая антенна, выполненная методом лазерной резки из акрилового стекла с печатными элементами в роли облучателей. Также известны конструкции, в которых сама антенная решётка

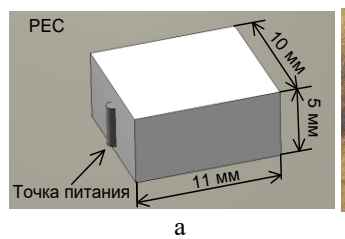
выполняется полностью по печатной технологии, в том числе, с применением матрицы Батлера в качестве диаграммо-образующей схемы [8]. Низкопрофильные решения для размещения на проводящей подстилающей поверхности носителя также известны [9], однако в виду широкого распространения и низкой стоимости изготовления конструкций по технологии 3D-печати [5], [9] представляет интерес изготовление полностью диэлектрической многолучевой антенной решётки, когда усеченная фокусирующая линза, и система облучателей выполнены из диэлектрика (рис. 1).



Рис. 1. Макет многолучевой печатной диэлектрической линзовой антенны

## II. Электродинамическое моделирование

В качестве облучателя антенны в рамках данной работы был выбран диэлектрический резонатор (ДР), в простейшем случае — в виде параллелепипеда, установленный на проводящем экране, с коаксиальноштыревым возбуждением, вид и габаритные размеры его приведены на рис. 2. В качестве диэлектрика при проектировании выбран материал HIPS с характеристиками:  $\varepsilon$ =2.5 и tg $\delta$ =0.0025.



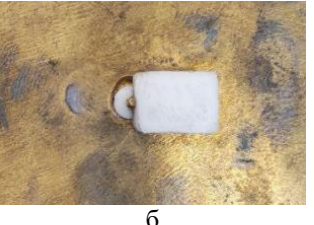


Рис. 2. Вид диэлектрического резонатора a) электродинамическая модель; б) макет

Электродинамическое моделирование, как и экспериментальное исследование показали, что для ДР такого рода, сравнительно легко удается достичь согласован по критерию S11<-10 дБ в полосе частот от 30 до 40 ГГц (рис. 3). Расчетная ДН на центральной частоте рабочего диапазона приведена на рис. 4.

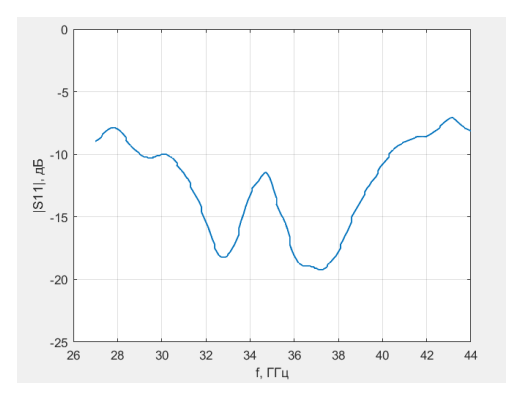


Рис. 3. Измеренная частотная зависимость S11 прямоугольного диэлектрического резонатора

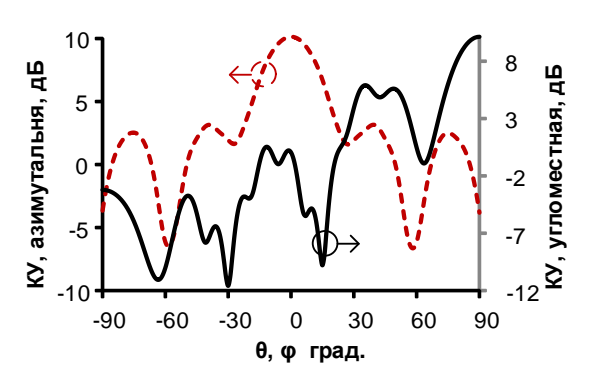


Рис. 4. ДН прямоугольного диэлектрического резонатора на частоте  $35\ \Gamma\Gamma$ п

Из рис. 4 видно, что характеристики данного прямоугольного ДР в качестве облучателя оставляют желать лучшего. Однако, как показывает опыт, до некоторой степени, этот вопрос решается оптимизацией геометрии.

Синтез фокусирующей линзы проводился для ДР по рис. 2 на расстоянии в 68 мм от раскрыва облучателя итерационной коррекции состоявшегося распределения в плоскости по двум фазового координатам. Таким образом были получены два варианта геометрии усеченной фазокорректирующей диэлектрической линзы: с коррекцией фазы азимутальной и угломестной плоскостях, выполненной со стороны ближайшей к облучателю поверхности линзы и с коррекцией на (рис. 5а) противоположной поверхности линзы (рис. 5б). Сравнение расчетной ДН на центральной частоте и частотных зависимостей КУ в полосе рабочих частот для этих двух конструкций при использовании прямоугольного ДР в облучателя приведены на рис. 6 и рис. 7 соответственно, поперечные размеры линз (раскрывы) составляют  $80 \times 20 \text{ mm}$ .



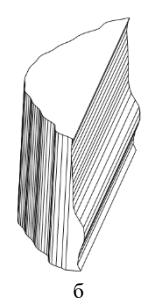
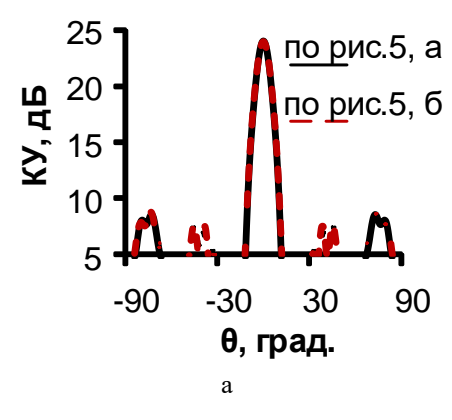


Рис. 5. Модель фазокорректирующей линзы а) с коррекцией фазы в азимутальной и угломестной плоскостях выполненной со стороны ближайшей к облучателю поверхности линзы; б) с коррекцией в азимутальной и угломестной плоскостях на противоположных поверхностях линзы



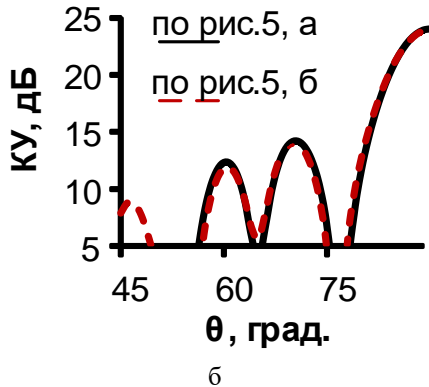


Рис. 6. Численные ДН при использовании прямоугольного диэлектрического резонатора в качестве облучателя и различных фокусирующих линз а) в азимутальной плоскости; б) в угломестной плоскости

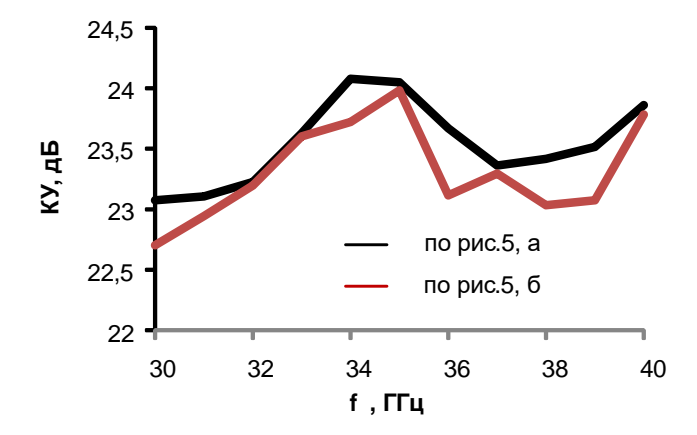


Рис. 7. Численные частотные зависимости КУ при использовании различных фокусирующих линз

При переходе к многолучевой конструкции, с пятью близкорасположенными облучателями взаимное влияние диэлектрических резонаторов несколько ухудшает качество ДН с точки зрения максимального КУ и УБЛ, в связи с чем форма облучателя была изменена на трапецеидальную (рис. 1). Уровень развязки между элементами АР в данном случае не хуже 20 дБ на центральной частоте рабочего диапазона (рис. 8).

ДН и частотные зависимости КУ для каждого луча приведены на рис. 9 – рис. 10.

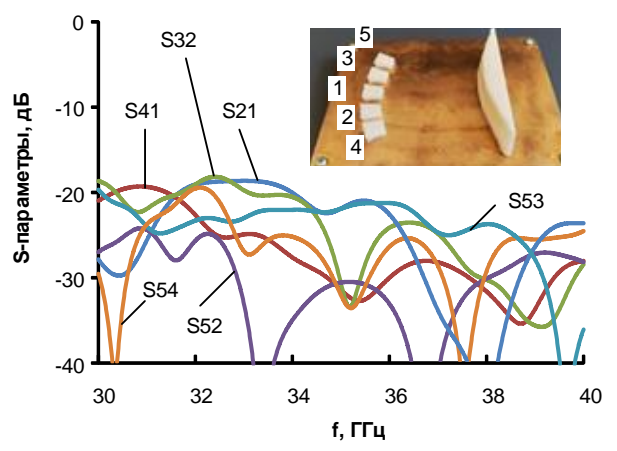
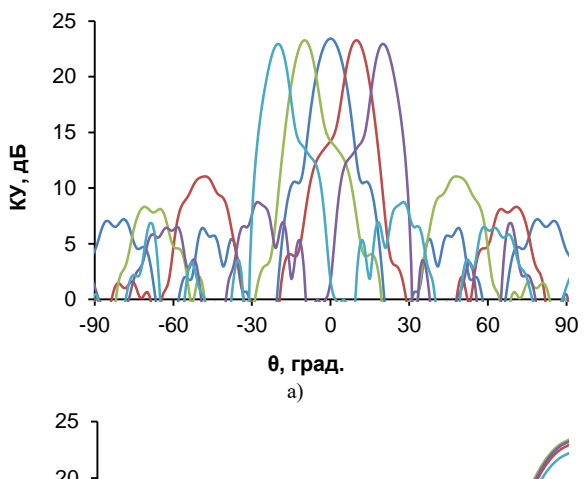


Рис. 8. Численные частотные зависимости S-параметров 5-элементной печатной антенны



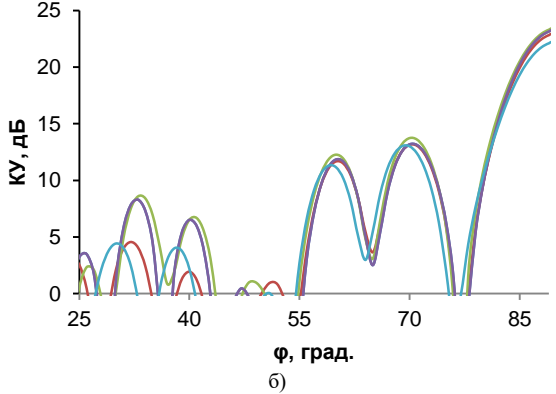


Рис. 9. Расчетные ДН пятилучевой печатной диэлектрической антенны а) в азимутальной плоскости; б) в угломестной плоскости

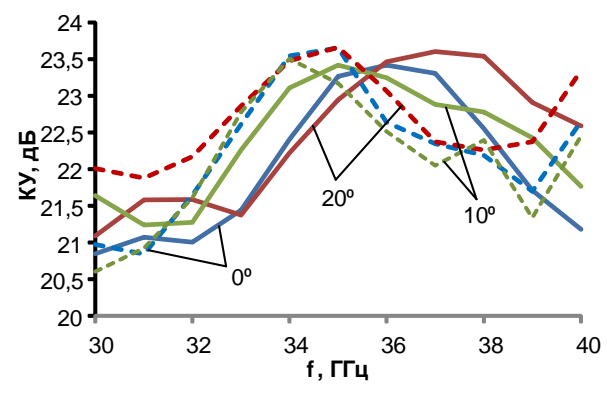


Рис. 10. Численные частотные зависимости КУ 5-лучевой печатной антенны при облучении прямоугольными (пунктирные линии) и трапецеидальными (сплошные линии) диэлектрическими резонаторами для различных углов отклонения луча

# III. РЕЗУЛЬТАТЫ ЭКСПЕРИМЕНТАЛЬНОГО ИССЛЕДОВАНИЯ. ЗАКЛЮЧЕНИЕ

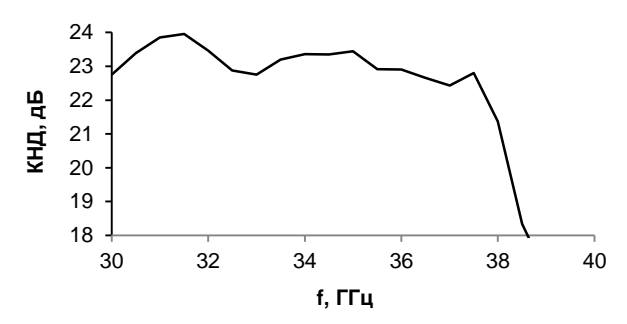


Рис. 11. Измеренная частотная зависимость КНД 5-лучевой печатной антенны при облучении центральным трапецеидальным диэлектрическим резонатором

В настоящее время экспериментальные результаты одного получены (центрального) канала для исследуемой AP. рис. 11 Ha приведена экспериментальная частотная зависимость КНД. Приведенные данные свидетельствуют, что в раскрыве линзы присутствует заметная фазовая ошибка, причины и способы её устранения являются следующими этапами данного исследования.

### Список литературы

- [1] Сети 6G. Путь от 5G к 6G глазами разработчиков. От подключенных людей и вещей к подключенному интеллекту. / пер. с англ. В. С. Яценкова. М.: ДМК Пресс, 2022. 624 с.
- [2] J. Thornton and K.-C. Huang, Modern Lens Antennas for Communications Engineering, Hoboken, NJ, USA: Wiley, 2013.
- [3] T. Chaloun et al., "Electronically Steerable Antennas for Future Heterogeneous Communication Networks: Review and Perspectives," in IEEE Journal of Microwaves, vol. 2, no. 4, pp. 545-581, Oct. 2022.
- [4] Беляев М.П., Пастернак Ю.Г., Пендюрин В.А., Рогозин Р.Е. Исследование многолучевых линзовых антенн на основе параллельных печатных плат // Вестник ВГТУ. 2021. №3.
- [5] Обзор конструкций линзовых антенн Люнеберга, изготовленных методами 3D-печати /Д.В. Кусайкин, И.В. Григорьев, Д.В. Денисов, П.А. Туральчук // Изв. вузов России. Радиоэлектроника. 2024. Т. 27, № 2. С. 6–36.
- [6] O. Ryazantsev, Y.P. Salomatov, V.S. Panko and M.I. Sugak, "Flat-layered spherical lens antenna system in conditions of slant polarized feeder radiation," 2016 International Siberian Conference on Control and Communications (SIBCON), Moscow, Russia, 2016, pp. 1-3.
- [7] Теоретическое и экспериментальное исследование четырехлучевой линзовой антенны мм-диапазона / С.В. Балландович, Е.А. Смирнова, Г.А. Костиков, А.В. Кочетов, М.И. Сугак // Электроника и микроэлектроника СВЧ. 2017. Т. 1. С. 336-339
- [8] Горбачев А.П., Паршин Ю.Н. Печатная дипольная 8-лучевая антенная решетка с диаграммообразующей матрицей Батлера на связанных полосковых линиях // Вопросы радиоэлектроники. 2019. № 4. С. 65-70.
- [9] Исследование печатной цилиндрической линзы Люнеберга / А.А. Кузиков, Р.С. Орехов, Ю.П. Саломатов, М.И. Сугак // Электроника и микроэлектроника СВЧ. 2018. Т. 1. С. 426-430.